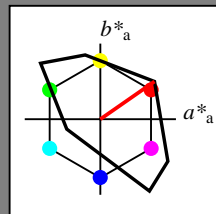


Eingabe: Farbmétrisches Fernseh-Licht-System TLS18

für Buntton $h^* = lab^*h = 35/360 = 0.097$
 lab^*tch und lab^*nch

D65: Buntton O
 LCH*Ma: 53 87 35
 olv*Ma: 1.0 0.0 0.0

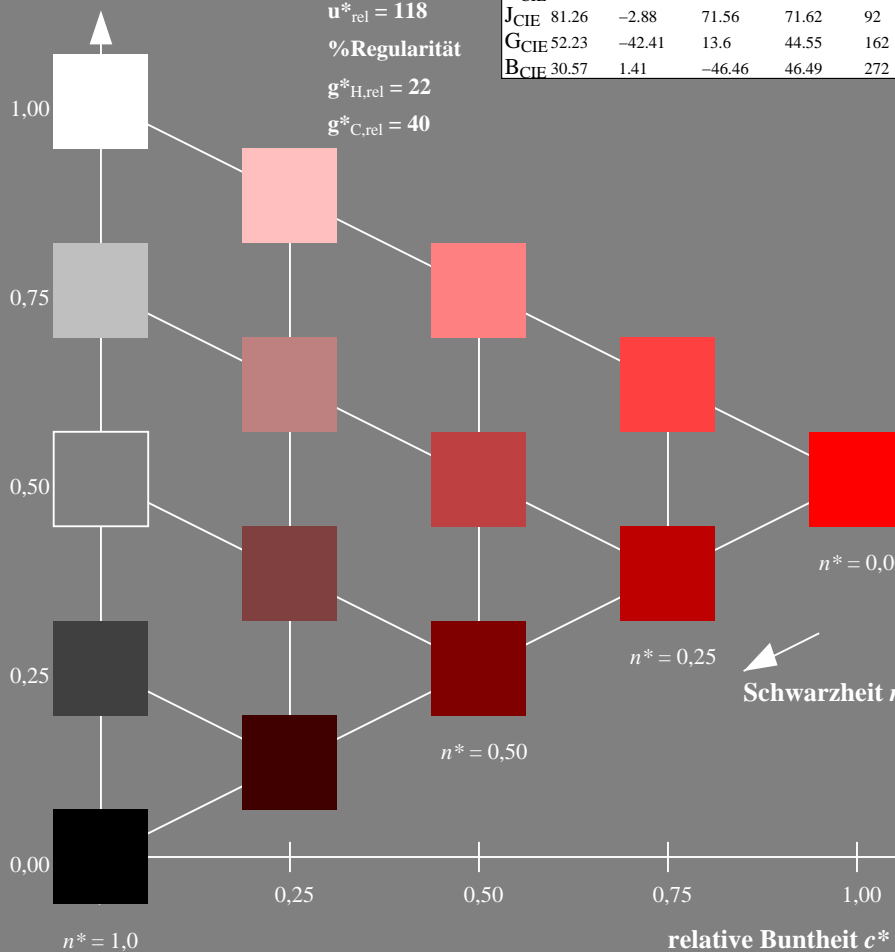


TLS18; adaptierte CIELAB-Daten

	$L^*=L^*_a$	a^*_a	b^*_a	$C^*_{ab,a}$	$h^*_{ab,a}$
O_m	52.76	71.63	49.88	87.29	35
Y_m	92.74	-20.02	84.97	87.3	103
L_m	84.0	-78.98	73.94	108.2	137
C_m	87.14	-44.41	-13.11	46.32	196
V_m	35.47	64.92	-95.06	115.12	304
M_m	59.01	89.33	-55.67	105.26	328
N_m	18.01	0.0	0.0	0.0	0
W_m	95.41	0.0	0.0	0.0	0
$RCIE$	39.92	58.74	27.99	65.07	25
J_{CIE}	81.26	-2.88	71.56	71.62	92
G_{CIE}	52.23	-42.41	13.6	44.55	162
B_{CIE}	30.57	1.41	-46.46	46.49	272

Dreiecks-Helligkeit t^*

%Umfang
 $u^*_{rel} = 118$
 %Regularität
 $g^*_{H,rel} = 22$
 $g^*_{C,rel} = 40$

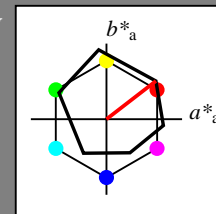


NG260-7, 5 stufige Reihen für konstanten CIELAB Buntton $35/360 = 0.097$ (links)

Ausgabe: Farbmétrisches Offset-Reflektiv-System ORS18

für Buntton $h^* = lab^*h = 38/360 = 0.105$
 LAB^*LCH, LAB^*NCH

D65: Buntton O
 LCH*Ma: 48 83 38
 olv*Ma: 1.0 0.0 0.0

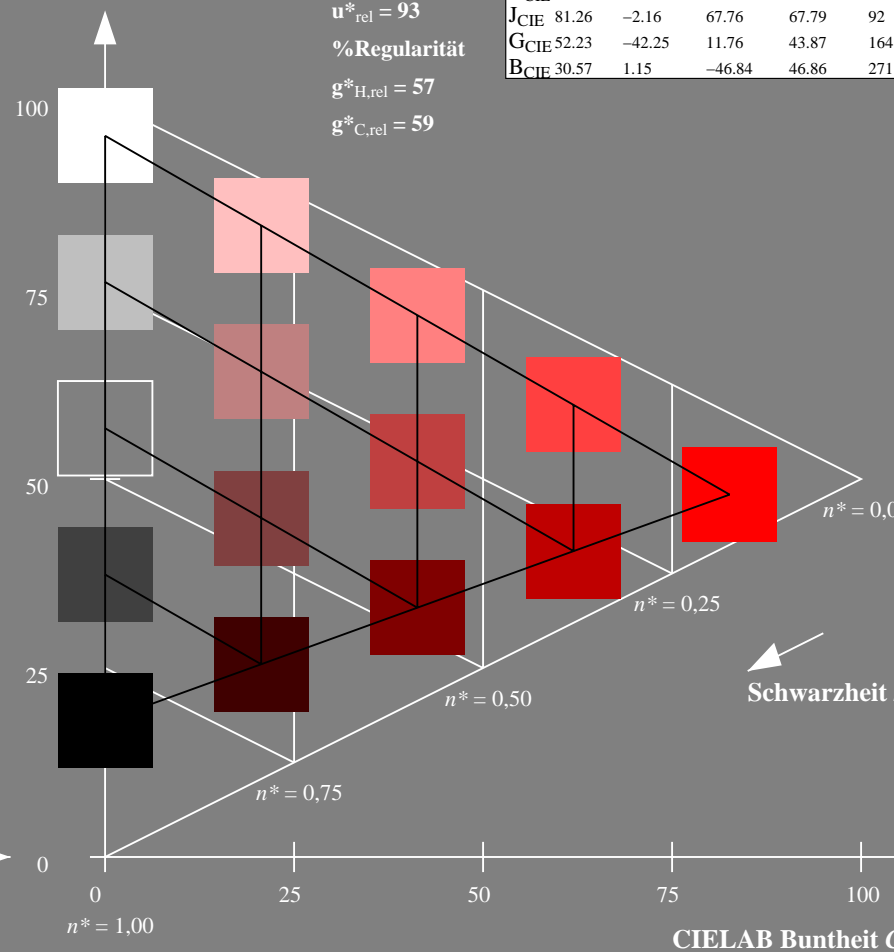


ORS18; adaptierte CIELAB-Daten

	$L^*=L^*_a$	a^*_a	b^*_a	$C^*_{ab,a}$	$h^*_{ab,a}$
O_m	47.94	65.39	50.52	82.63	38
Y_m	90.37	-10.26	91.75	92.32	96
L_m	50.9	-62.83	34.96	71.91	151
C_m	58.62	-30.34	-45.01	54.3	236
V_m	25.72	31.1	-44.4	54.22	305
M_m	48.13	75.28	-8.36	75.74	354
N_m	18.01	0.0	0.0	0.0	0
W_m	95.41	0.0	0.0	0.0	0
$RCIE$	39.92	58.66	26.98	64.57	25
J_{CIE}	81.26	-2.16	67.76	67.79	92
G_{CIE}	52.23	-42.25	11.76	43.87	164
B_{CIE}	30.57	1.15	-46.84	46.86	271

CIELAB-Helligkeit L^*

%Umfang
 $u^*_{rel} = 93$
 %Regularität
 $g^*_{H,rel} = 57$
 $g^*_{C,rel} = 59$

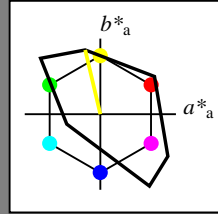


5 stufige Reihen für konstanten CIELAB Buntton $38/360 = 0.105$ (rechts)

Eingabe: Farbmétrisches Fernseh-Licht-System TLS18

für Buntton $h^* = lab^*h = 103/360 = 0.287$
 lab^*tch und lab^*nch

D65: Buntton Y
 LCH*Ma: 93 87 103
 olv*Ma: 1.0 1.0 0.0

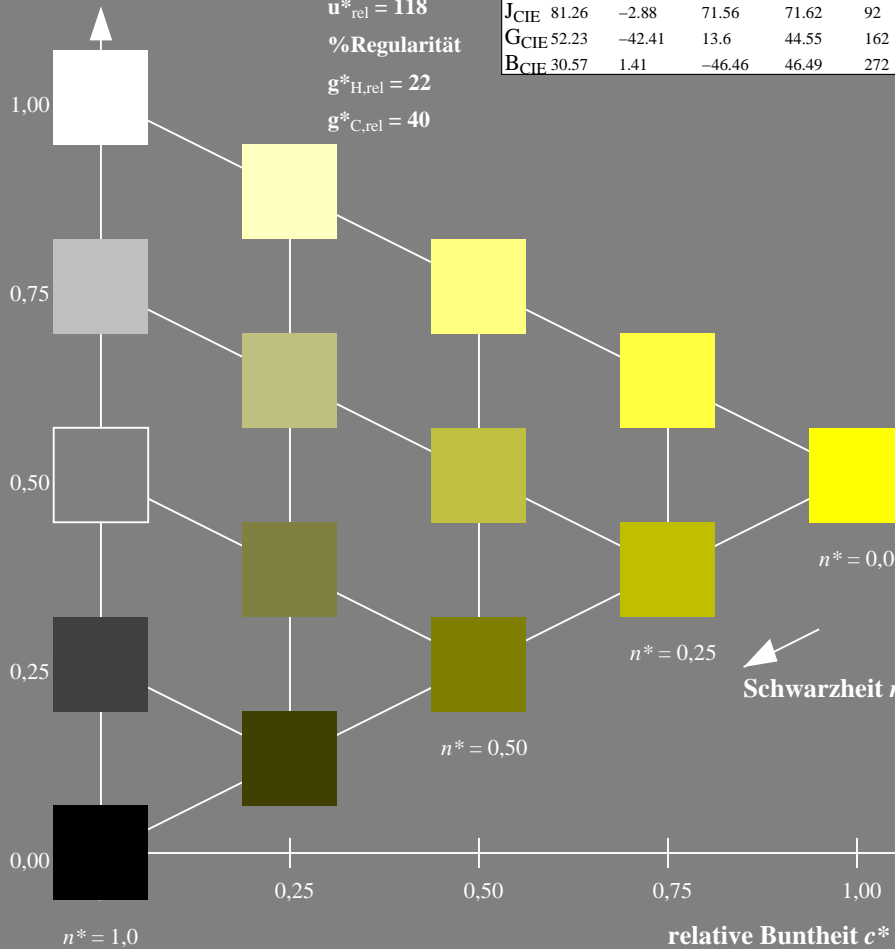


TLS18; adaptierte CIELAB-Daten

	$L^*=L^*_a$	a^*_a	b^*_a	$C^*_{ab,a}$	$h^*_{ab,a}$
O _m	52.76	71.63	49.88	87.29	35
Y _m	92.74	-20.02	84.97	87.3	103
L _m	84.0	-78.98	73.94	108.2	137
C _m	87.14	-44.41	-13.11	46.32	196
V _m	35.47	64.92	-95.06	115.12	304
M _m	59.01	89.33	-55.67	105.26	328
N _m	18.01	0.0	0.0	0.0	0
W _m	95.41	0.0	0.0	0.0	0
R _{CIE}	39.92	58.74	27.99	65.07	25
J _{CIE}	81.26	-2.88	71.56	71.62	92
G _{CIE}	52.23	-42.41	13.6	44.55	162
B _{CIE}	30.57	1.41	-46.46	46.49	272

Dreiecks-Helligkeit t^*

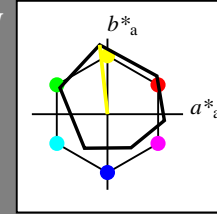
%Umfang
 $u^*_{rel} = 118$
 %Regularität
 $g^*_{H,rel} = 22$
 $g^*_{C,rel} = 40$



Ausgabe: Farbmétrisches Offset-Reflektiv-System ORS18

für Buntton $h^* = lab^*h = 96/360 = 0.268$
 LAB^*LCH, LAB^*NCH

D65: Buntton Y
 LCH*Ma: 90 92 96
 olv*Ma: 1.0 1.0 0.0

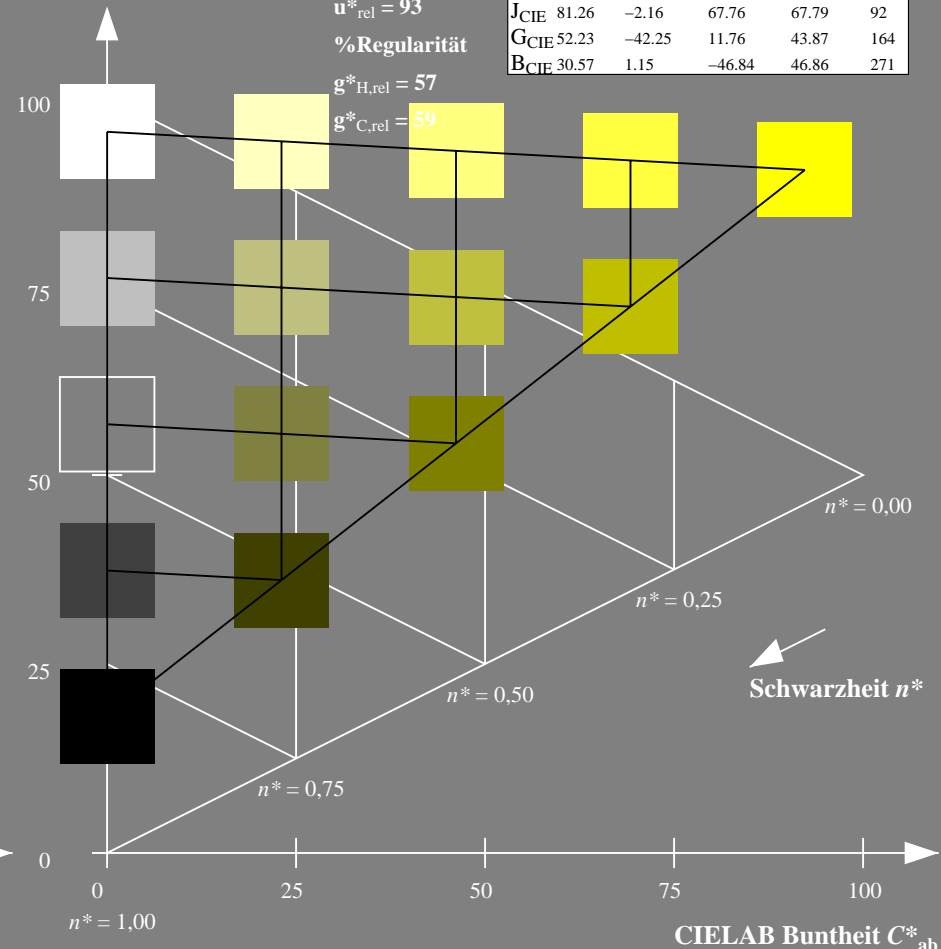


ORS18; adaptierte CIELAB-Daten

	$L^*=L^*_a$	a^*_a	b^*_a	$C^*_{ab,a}$	$h^*_{ab,a}$
O _m	47.94	65.39	50.52	82.63	38
Y _m	90.37	-10.26	91.75	92.32	96
L _m	50.9	-62.83	34.96	71.91	151
C _m	58.62	-30.34	-45.01	54.3	236
V _m	25.72	31.1	-44.4	54.22	305
M _m	48.13	75.28	-8.36	75.74	354
N _m	18.01	0.0	0.0	0.0	0
W _m	95.41	0.0	0.0	0.0	0
R _{CIE}	39.92	58.66	26.98	64.57	25
J _{CIE}	81.26	-2.16	67.76	67.79	92
G _{CIE}	52.23	-42.25	11.76	43.87	164
B _{CIE}	30.57	1.15	-46.84	46.86	271

CIELAB-Helligkeit L^*

%Umfang
 $u^*_{rel} = 93$
 %Regularität
 $g^*_{H,rel} = 57$
 $g^*_{C,rel} = 59$



NG260-7, 5-stufige Reihen für konstanten CIELAB Buntton 103/360 = 0.287 (links)

5-stufige Reihen für konstanten CIELAB Buntton 96/360 = 0.268 (rechts)

Eingabe: Farbmétrisches Fernseh-Licht-System TLS18

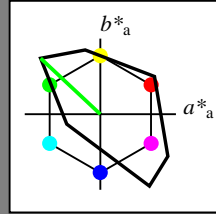
für Buntton $h^* = lab^*h = 137/360 = 0.38$

lab^*tch und lab^*nch

D65: Buntton L

LCH*Ma: 84 108 137

olv*Ma: 0.0 1.0 0.0



TLS18; adaptierte CIELAB-Daten

	$L^*=L^*_a$	a^*_a	b^*_a	$C^*_{ab,a}$	$h^*_{ab,a}$
O_m	52.76	71.63	49.88	87.29	35
Y_m	92.74	-20.02	84.97	87.3	103
L_m	84.0	-78.98	73.94	108.2	137
C_m	87.14	-44.41	-13.11	46.32	196
V_m	35.47	64.92	-95.06	115.12	304
M_m	59.01	89.33	-55.67	105.26	328
N_m	18.01	0.0	0.0	0.0	0
W_m	95.41	0.0	0.0	0.0	0
R_{CIE}	39.92	58.74	27.99	65.07	25
J_{CIE}	81.26	-2.88	71.56	71.62	92
G_{CIE}	52.23	-42.41	13.6	44.55	162
B_{CIE}	30.57	1.41	-46.46	46.49	272

Dreiecks-Helligkeit t^*

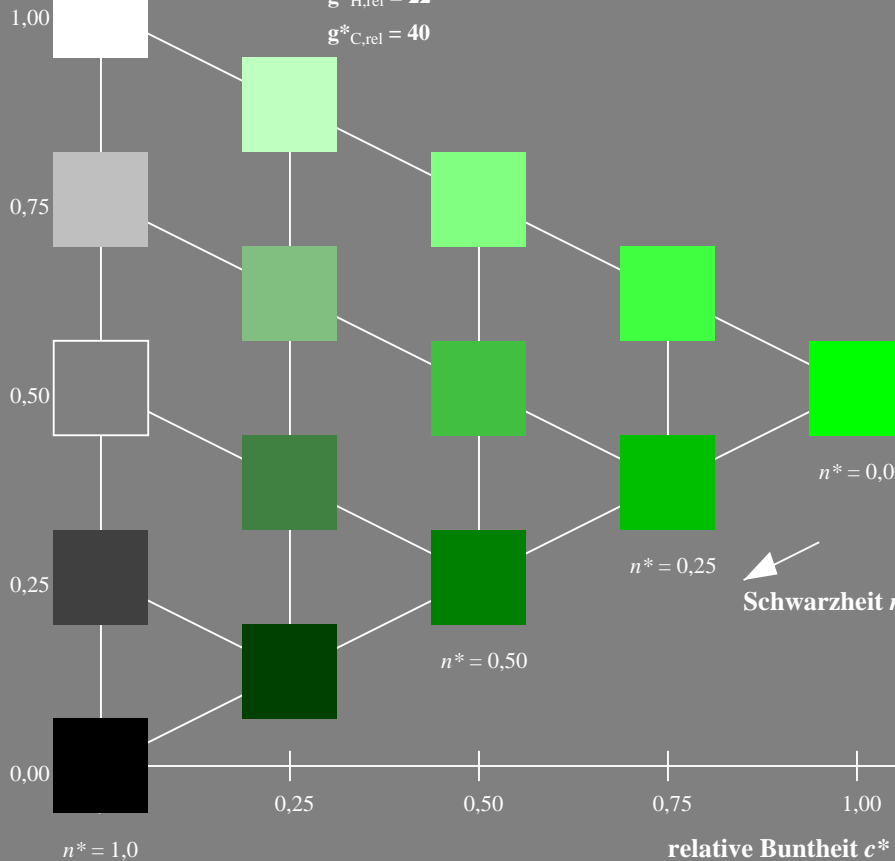
%Umfang

$u^*_{rel} = 118$

%Regularität

$g^*_{H,rel} = 22$

$g^*_{C,rel} = 40$



NG260-7, 5 stufige Reihen für konstanten CIELAB Buntton $137/360 = 0.38$ (links)

Ausgabe: Farbmétrisches Offset-Reflektiv-System ORS18

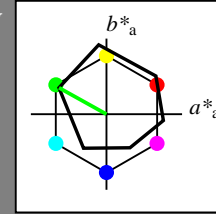
für Buntton $h^* = lab^*h = 151/360 = 0.419$

LAB^*LCH, LAB^*NCH

D65: Buntton L

LCH*Ma: 51 72 151

olv*Ma: 0.0 1.0 0.0



ORS18; adaptierte CIELAB-Daten

	$L^*=L^*_a$	a^*_a	b^*_a	$C^*_{ab,a}$	$h^*_{ab,a}$
O_m	47.94	65.39	50.52	82.63	38
Y_m	90.37	-10.26	91.75	92.32	96
L_m	50.9	-62.83	34.96	71.91	151
C_m	58.62	-30.34	-45.01	54.3	236
V_m	25.72	31.1	-44.4	54.22	305
M_m	48.13	75.28	-8.36	75.74	354
N_m	18.01	0.0	0.0	0.0	0
W_m	95.41	0.0	0.0	0.0	0
R_{CIE}	39.92	58.66	26.98	64.57	25
J_{CIE}	81.26	-2.16	67.76	67.79	92
G_{CIE}	52.23	-42.25	11.76	43.87	164
B_{CIE}	30.57	1.15	-46.84	46.86	271

CIELAB-Helligkeit L^*

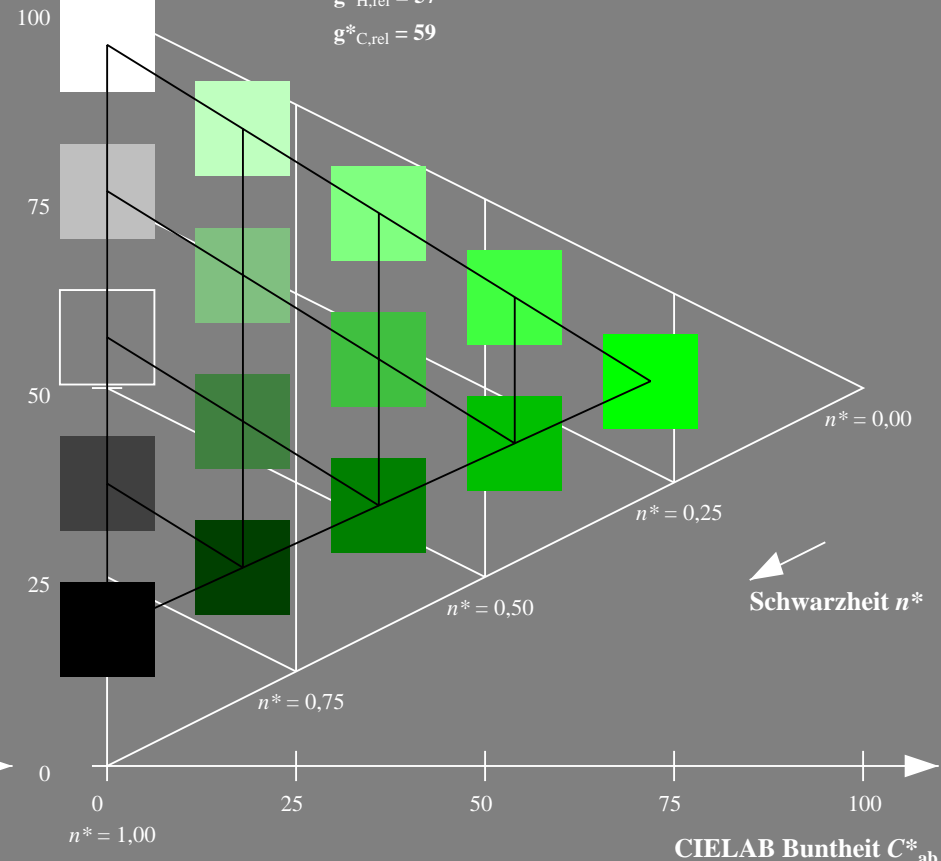
%Umfang

$u^*_{rel} = 93$

%Regularität

$g^*_{H,rel} = 57$

$g^*_{C,rel} = 59$

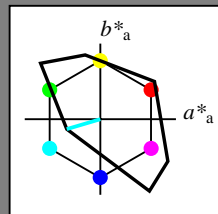


5 stufige Reihen für konstanten CIELAB Buntton $151/360 = 0.419$ (rechts)

Eingabe: Farbmétrisches Fernseh-Licht-System TLS18

für Buntton $h^* = lab^*h = 196/360 = 0.546$
 lab^*tch und lab^*nch

D65: Buntton C
 LCH*Ma: 87 46 196
 olv*Ma: 0.0 1.0 1.0

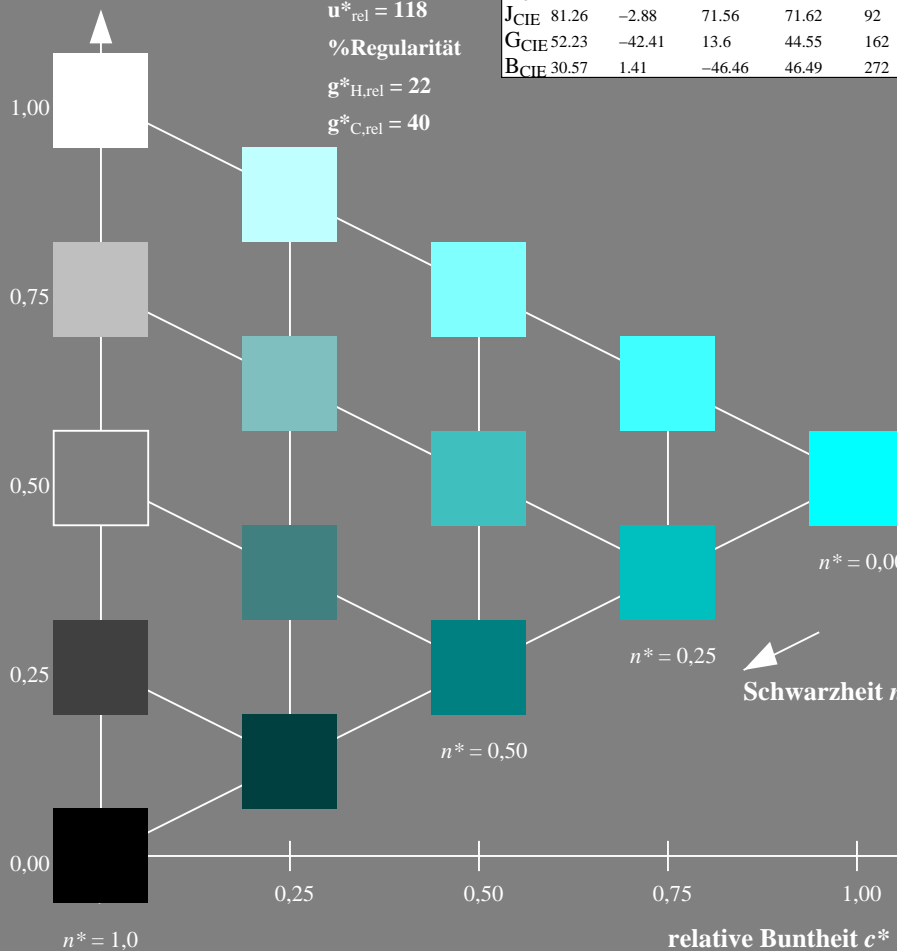


TLS18; adaptierte CIELAB-Daten

	$L^*=L^*_a$	a^*_a	b^*_a	$C^*_{ab,a}$	$h^*_{ab,a}$
O_m	52.76	71.63	49.88	87.29	35
Y_m	92.74	-20.02	84.97	87.3	103
L_m	84.0	-78.98	73.94	108.2	137
C_m	87.14	-44.41	-13.11	46.32	196
V_m	35.47	64.92	-95.06	115.12	304
M_m	59.01	89.33	-55.67	105.26	328
N_m	18.01	0.0	0.0	0.0	0
W_m	95.41	0.0	0.0	0.0	0
R_{CIE}	39.92	58.74	27.99	65.07	25
J_{CIE}	81.26	-2.88	71.56	71.62	92
G_{CIE}	52.23	-42.41	13.6	44.55	162
B_{CIE}	30.57	1.41	-46.46	46.49	272

Dreiecks-Helligkeit t^*

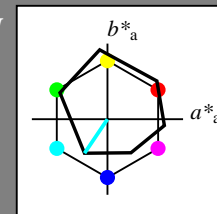
%Umfang
 $u^*_{rel} = 118$
 %Regularität
 $g^*_{H,rel} = 22$
 $g^*_{C,rel} = 40$



Ausgabe: Farbmétrisches Offset-Reflektiv-System ORS18

für Buntton $h^* = lab^*h = 236/360 = 0.656$
 LAB^*LCH, LAB^*NCH

D65: Buntton C
 LCH*Ma: 59 54 236
 olv*Ma: 0.0 1.0 1.0

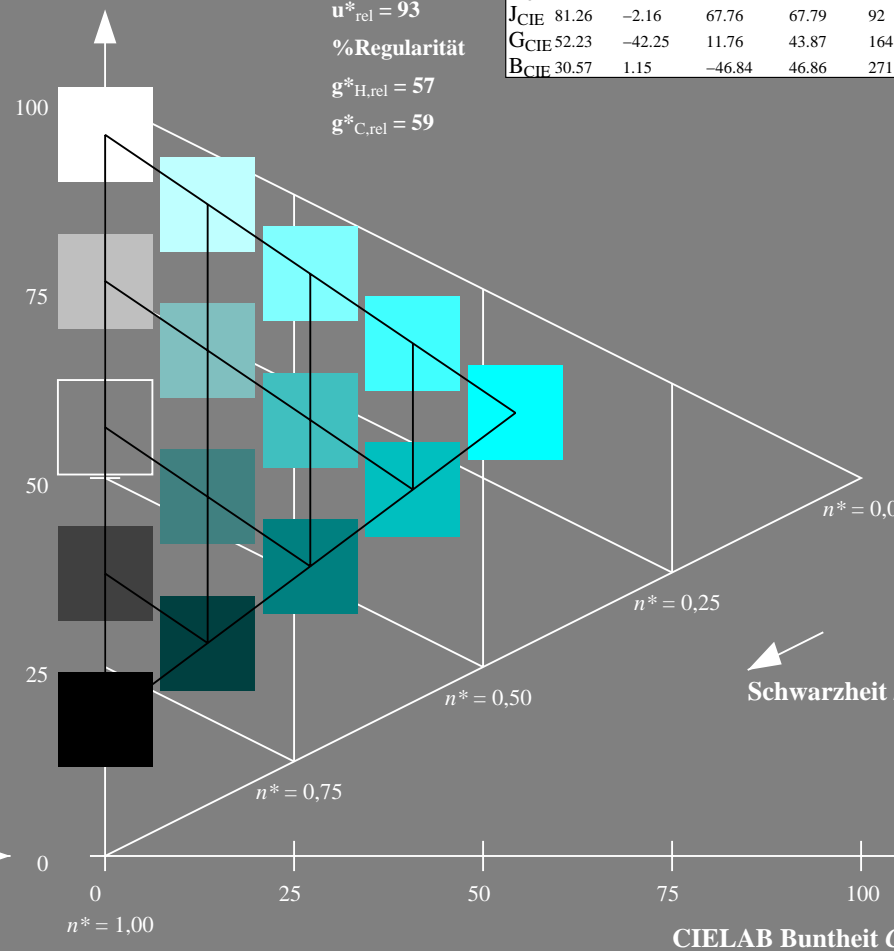


ORS18; adaptierte CIELAB-Daten

	$L^*=L^*_a$	a^*_a	b^*_a	$C^*_{ab,a}$	$h^*_{ab,a}$
O_m	47.94	65.39	50.52	82.63	38
Y_m	90.37	-10.26	91.75	92.32	96
L_m	50.9	-62.83	34.96	71.91	151
C_m	58.62	-30.34	-45.01	54.3	236
V_m	25.72	31.1	-44.4	54.22	305
M_m	48.13	75.28	-8.36	75.74	354
N_m	18.01	0.0	0.0	0.0	0
W_m	95.41	0.0	0.0	0.0	0
R_{CIE}	39.92	58.66	26.98	64.57	25
J_{CIE}	81.26	-2.16	67.76	67.79	92
G_{CIE}	52.23	-42.25	11.76	43.87	164
B_{CIE}	30.57	1.15	-46.84	46.86	271

CIELAB-Helligkeit L^*

%Umfang
 $u^*_{rel} = 93$
 %Regularität
 $g^*_{H,rel} = 57$
 $g^*_{C,rel} = 59$



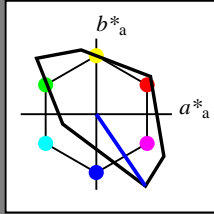
NG260-7, 5 stufige Reihen für konstanten CIELAB Buntton $196/360 = 0.546$ (links)

5 stufige Reihen für konstanten CIELAB Buntton $236/360 = 0.656$ (rechts)

Eingabe: Farbmétrisches Fernseh-Licht-System TLS18

für Buntton $h^* = lab^*h = 304/360 = 0.845$
 lab^*tch und lab^*nch

D65: Buntton V
 LCH*Ma: 35 115 304
 olv*Ma: 0.0 0.0 1.0

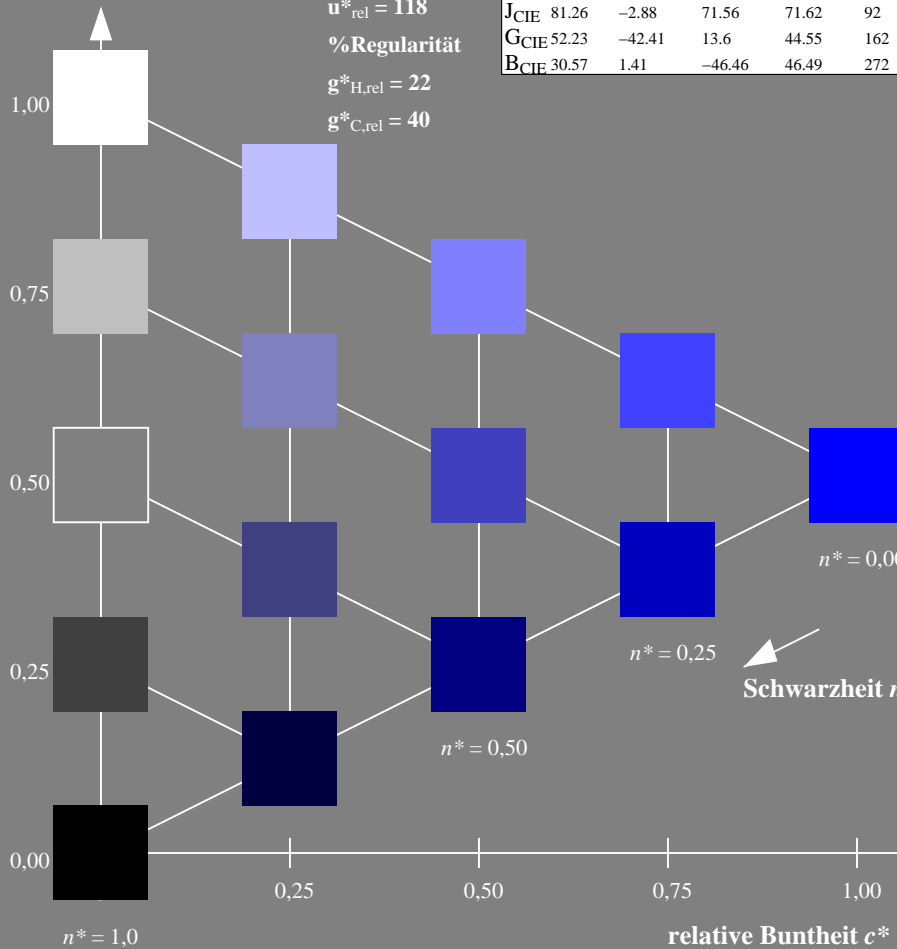


TLS18; adaptierte CIELAB-Daten

	$L^*=L^*_a$	a^*_a	b^*_a	$C^*_{ab,a}$	$h^*_{ab,a}$
O _m	52.76	71.63	49.88	87.29	35
Y _m	92.74	-20.02	84.97	87.3	103
L _m	84.0	-78.98	73.94	108.2	137
C _m	87.14	-44.41	-13.11	46.32	196
V _m	35.47	64.92	-95.06	115.12	304
M _m	59.01	89.33	-55.67	105.26	328
N _m	18.01	0.0	0.0	0.0	0
W _m	95.41	0.0	0.0	0.0	0
RCIE	39.92	58.74	27.99	65.07	25
J _{CIE}	81.26	-2.88	71.56	71.62	92
G _{CIE}	52.23	-42.41	13.6	44.55	162
B _{CIE}	30.57	1.41	-46.46	46.49	272

Dreiecks-Helligkeit t^*

%Umfang
 $u^*_{rel} = 118$
 %Regularität
 $g^*_{H,rel} = 22$
 $g^*_{C,rel} = 40$

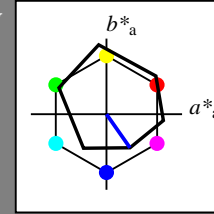


NG260-7, 5 stufige Reihen für konstanten CIELAB Buntton 304/360 = 0.845 (links)

Ausgabe: Farbmétrisches Offset-Reflektiv-System ORS18

für Buntton $h^* = lab^*h = 305/360 = 0.847$
 LAB^*LCH, LAB^*NCH

D65: Buntton V
 LCH*Ma: 26 54 305
 olv*Ma: 0.0 0.0 1.0

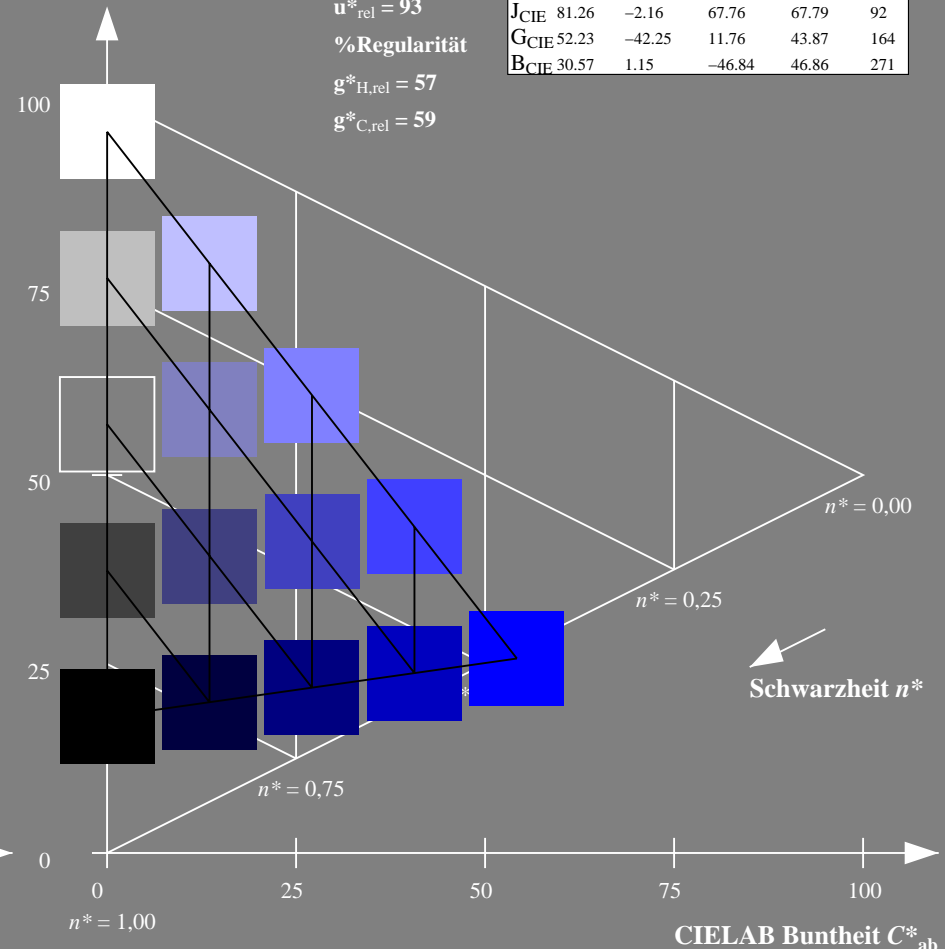


ORS18; adaptierte CIELAB-Daten

	$L^*=L^*_a$	a^*_a	b^*_a	$C^*_{ab,a}$	$h^*_{ab,a}$
O _m	47.94	65.39	50.52	82.63	38
Y _m	90.37	-10.26	91.75	92.32	96
L _m	50.9	-62.83	34.96	71.91	151
C _m	58.62	-30.34	-45.01	54.3	236
V _m	25.72	31.1	-44.4	54.22	305
M _m	48.13	75.28	-8.36	75.74	354
N _m	18.01	0.0	0.0	0.0	0
W _m	95.41	0.0	0.0	0.0	0
RCIE	39.92	58.66	26.98	64.57	25
J _{CIE}	81.26	-2.16	67.76	67.79	92
G _{CIE}	52.23	-42.25	11.76	43.87	164
B _{CIE}	30.57	1.15	-46.84	46.86	271

CIELAB-Helligkeit L^*

%Umfang
 $u^*_{rel} = 93$
 %Regularität
 $g^*_{H,rel} = 57$
 $g^*_{C,rel} = 59$



5 stufige Reihen für konstanten CIELAB Buntton 305/360 = 0.847 (rechts)

Siehe ähnliche Dateien: <http://www.ps.bam.de/NG26/>
 Technische Information: <http://www.ps.bam.de/Version 2.1, io=1,1?>

BAM-Registrierung: 20060101-NG26/10Q/Q26G04SP.PS/.PDF BAM-Material: Code=rhata
 Anwendung für Beurteilung und Messung von Drucker- oder Monitorssystemen
 /NG26/ Form: 5/10, Serie: 1/1, Seite: 5
 Seitenlung 5

Eingabe: Farbmatisches Fernseh-Licht-System TLS18

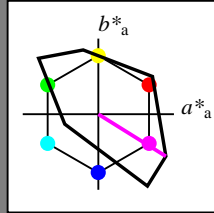
für Buntton $h^* = lab^*h = 328/360 = 0.911$

lab^*tch und lab^*nch

D65: Buntton M

LCH*Ma: 59 105 328

olv*Ma: 1.0 0.0 1.0



TLS18; adaptierte CIELAB-Daten

Table with 6 columns: L*, a*, b*, C*ab,a, h*ab,a and 10 rows of colorimetric data for the TLS18 system.

Dreiecks-Helligkeit t^*

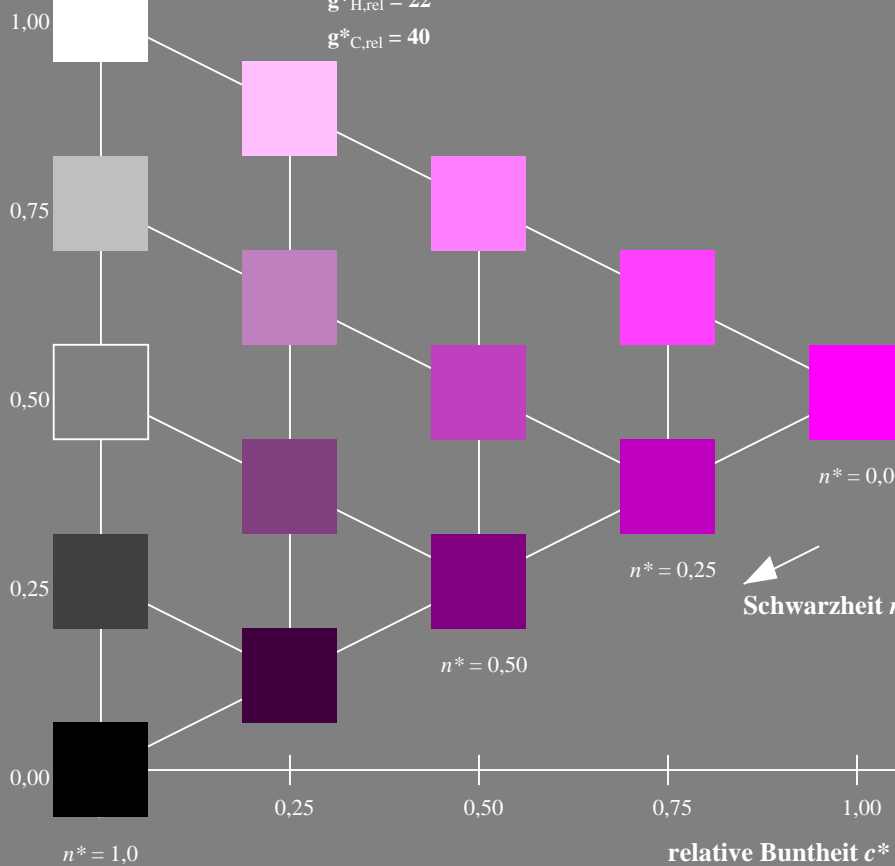
%Umfang

$u^*_{rel} = 118$

%Regularität

$g^*_{H,rel} = 22$

$g^*_{C,rel} = 40$



Ausgabe: Farbmatisches Offset-Reflektiv-System ORS18

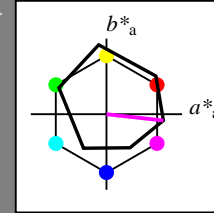
für Buntton $h^* = lab^*h = 354/360 = 0.982$

LAB^*LCH, LAB^*NCH

D65: Buntton M

LCH*Ma: 48 76 354

olv*Ma: 1.0 0.0 1.0



ORS18; adaptierte CIELAB-Daten

Table with 6 columns: L*, a*, b*, C*ab,a, h*ab,a and 10 rows of colorimetric data for the ORS18 system.

CIELAB-Helligkeit L^*

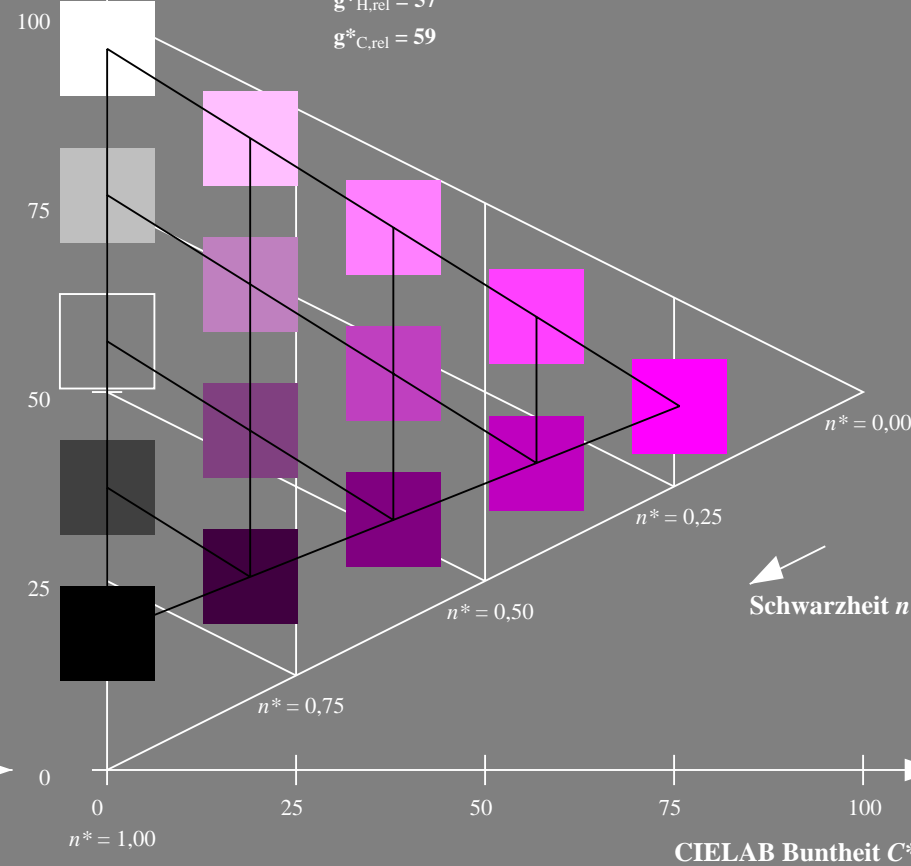
%Umfang

$u^*_{rel} = 93$

%Regularität

$g^*_{H,rel} = 57$

$g^*_{C,rel} = 59$



NG260-7, 5 stufige Reihen für konstanten CIELAB Buntton 328/360 = 0.911 (links)

5 stufige Reihen für konstanten CIELAB Buntton 354/360 = 0.982 (rechts)

BAM-Prüfvorlage NG26; Farbmatrik-Systeme ORS18 & ORS18input: olv* setrgbcolor

D65: Koordinatensysteme; 5stufige Farbreihen für 10 Bunttöne output: Startup (S) data dependend

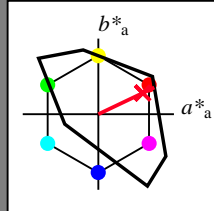
BAM-Registrierung: 20060101-NG26/10Q/Q26G05SP.PS/.PDF BAM-Material: Code=rh4ta
Anwendung für Beurteilung und Messung von Drucker- oder Monitorssystemen
/NG26/ Form: 6/10, Serie: 1/1, Seite: 6
Satzung 6

Eingabe: Farbmatisches Fernseh-Licht-System TLS18

für Buntton $h^* = lab^*h = 25/360 = 0.071$

lab^*tch und lab^*nch

D65: Buntton R
LCH*Ma: 54 82 25
olv*Ma: 1.0 0.0 0.14



TLS18; adaptierte CIELAB-Daten

	$L^*=L^*_a$	a^*_a	b^*_a	$C^*_{ab,a}$	$h^*_{ab,a}$
O _m	52.76	71.63	49.88	87.29	35
Y _m	92.74	-20.02	84.97	87.3	103
L _m	84.0	-78.98	73.94	108.2	137
C _m	87.14	-44.41	-13.11	46.32	196
V _m	35.47	64.92	-95.06	115.12	304
M _m	59.01	89.33	-55.67	105.26	328
N _m	18.01	0.0	0.0	0.0	0
W _m	95.41	0.0	0.0	0.0	0
R _m	39.92	58.74	27.99	65.07	25
J _m	81.26	-2.88	71.56	71.62	92
G _m	52.23	-42.41	13.6	44.55	162
B _m	30.57	1.41	-46.46	46.49	272

Dreiecks-Helligkeit t^*

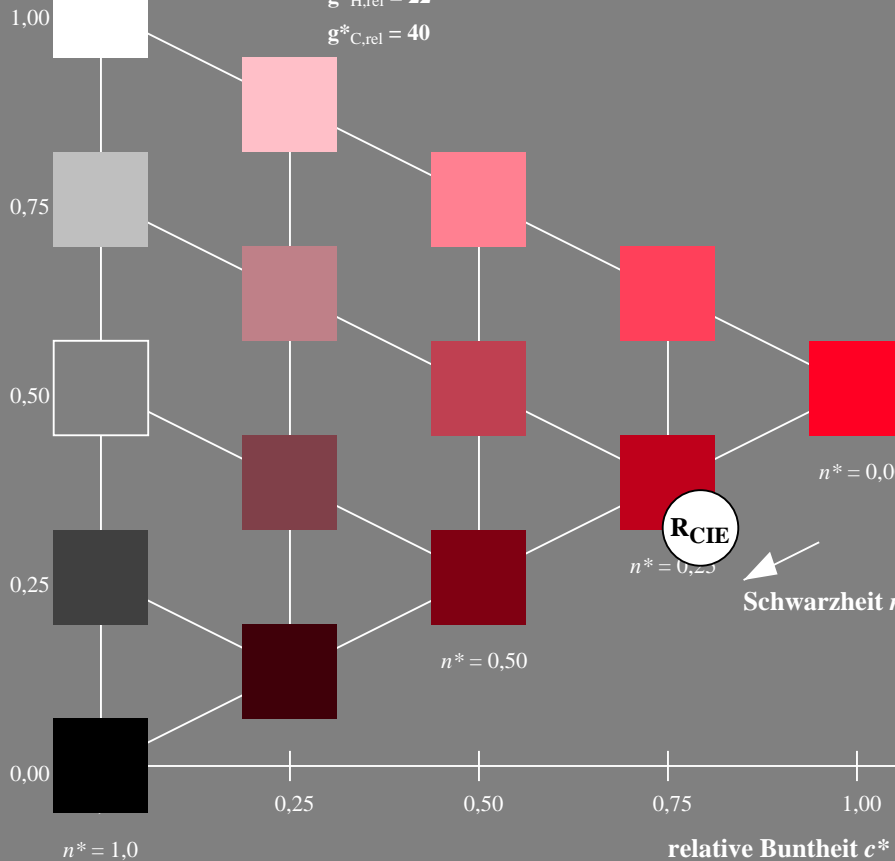
%Umfang

$u^*_{rel} = 118$

%Regularität

$g^*_{H,rel} = 22$

$g^*_{C,rel} = 40$

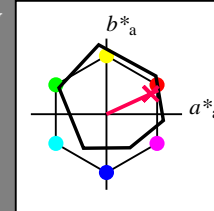


Ausgabe: Farbmatisches Offset-Reflektiv-System ORS18

für Buntton $h^* = lab^*h = 25/360 = 0.069$

LAB^*LCH, LAB^*NCH

D65: Buntton R
LCH*Ma: 48 75 25
olv*Ma: 1.0 0.0 0.32



ORS18; adaptierte CIELAB-Daten

	$L^*=L^*_a$	a^*_a	b^*_a	$C^*_{ab,a}$	$h^*_{ab,a}$
O _m	47.94	65.39	50.52	82.63	38
Y _m	90.37	-10.26	91.75	92.32	96
L _m	50.9	-62.83	34.96	71.91	151
C _m	58.62	-30.34	-45.01	54.3	236
V _m	25.72	31.1	-44.4	54.22	305
M _m	48.13	75.28	-8.36	75.74	354
N _m	18.01	0.0	0.0	0.0	0
W _m	95.41	0.0	0.0	0.0	0
R _m	39.92	58.66	26.98	64.57	25
J _m	81.26	-2.16	67.76	67.79	92
G _m	52.23	-42.25	11.76	43.87	164
B _m	30.57	1.15	-46.84	46.86	271

CIELAB-Helligkeit L^*

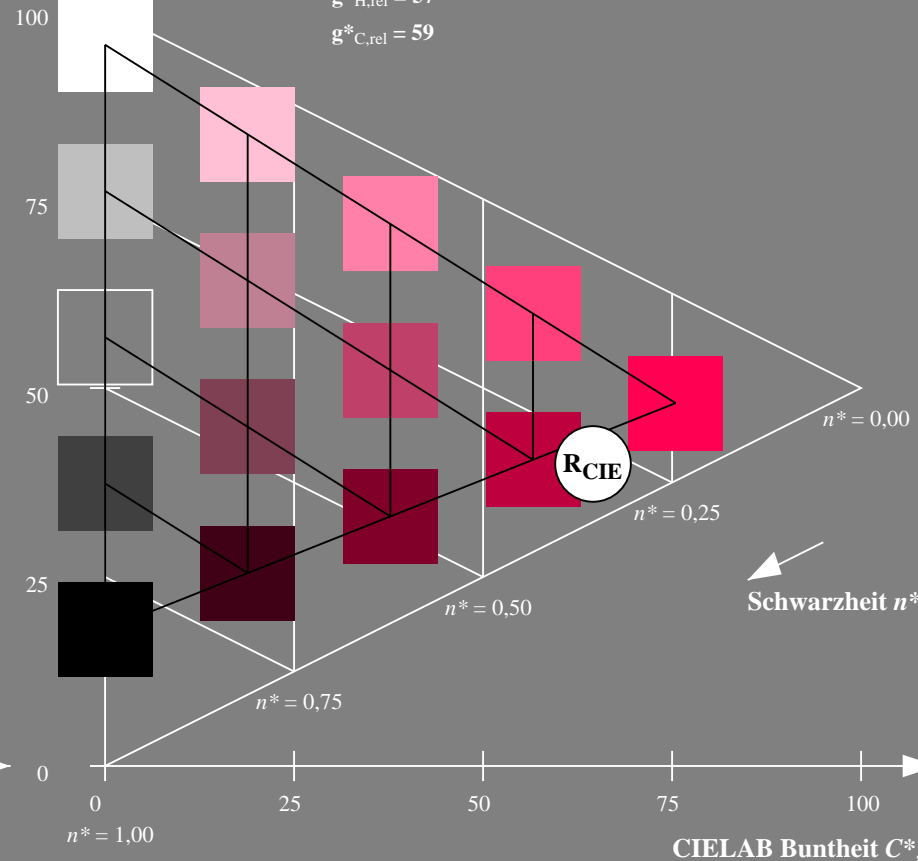
%Umfang

$u^*_{rel} = 93$

%Regularität

$g^*_{H,rel} = 57$

$g^*_{C,rel} = 59$



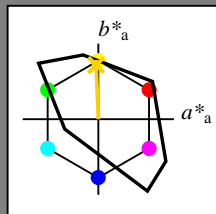
NG260-7, 5 stufige Reihen für konstanten CIELAB Buntton 25/360 = 0.071 (links)

5 stufige Reihen für konstanten CIELAB Buntton 25/360 = 0.069 (rechts)

Eingabe: Farbmétrisches Fernseh-Licht-System TLS18

für Buntton $h^* = lab^*h = 92/360 = 0.256$
 lab^*tch und lab^*nch

D65: Buntton J
 LCH*Ma: 85 79 92
 olv*Ma: 1.0 0.82 0.0

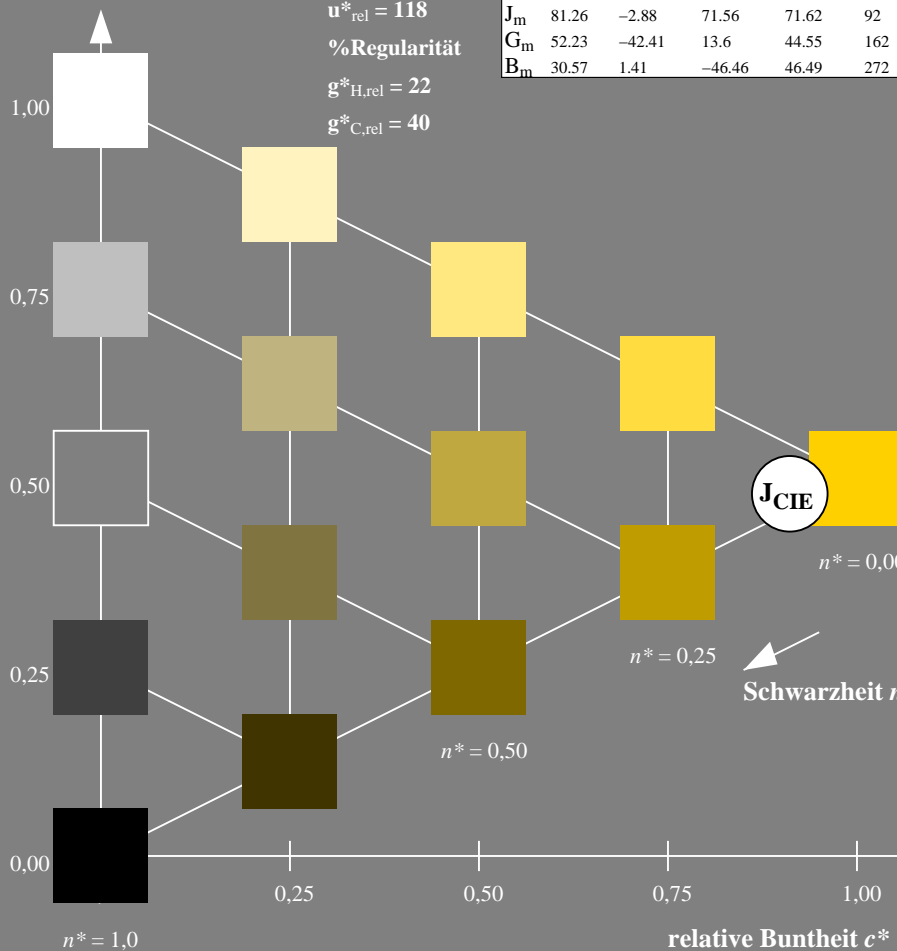


TLS18; adaptierte CIELAB-Daten

	$L^*=L^*_a$	a^*_a	b^*_a	$C^*_{ab,a}$	$h^*_{ab,a}$
O_m	52.76	71.63	49.88	87.29	35
Y_m	92.74	-20.02	84.97	87.3	103
L_m	84.0	-78.98	73.94	108.2	137
C_m	87.14	-44.41	-13.11	46.32	196
V_m	35.47	64.92	-95.06	115.12	304
M_m	59.01	89.33	-55.67	105.26	328
N_m	18.01	0.0	0.0	0.0	0
W_m	95.41	0.0	0.0	0.0	0
R_m	39.92	58.74	27.99	65.07	25
J_m	81.26	-2.88	71.56	71.62	92
G_m	52.23	-42.41	13.6	44.55	162
B_m	30.57	1.41	-46.46	46.49	272

Dreiecks-Helligkeit t^*

%Umfang
 $u^*_{rel} = 118$
 %Regularität
 $g^*_{H,rel} = 22$
 $g^*_{C,rel} = 40$

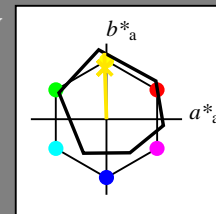


NG260-7, 5 stufige Reihen für konstanten CIELAB Buntton 92/360 = 0.256 (links)

Ausgabe: Farbmétrisches Offset-Reflektiv-System ORS18

für Buntton $h^* = lab^*h = 92/360 = 0.255$
 LAB^*LCH, LAB^*NCH

D65: Buntton J
 LCH*Ma: 86 88 92
 olv*Ma: 1.0 0.9 0.0

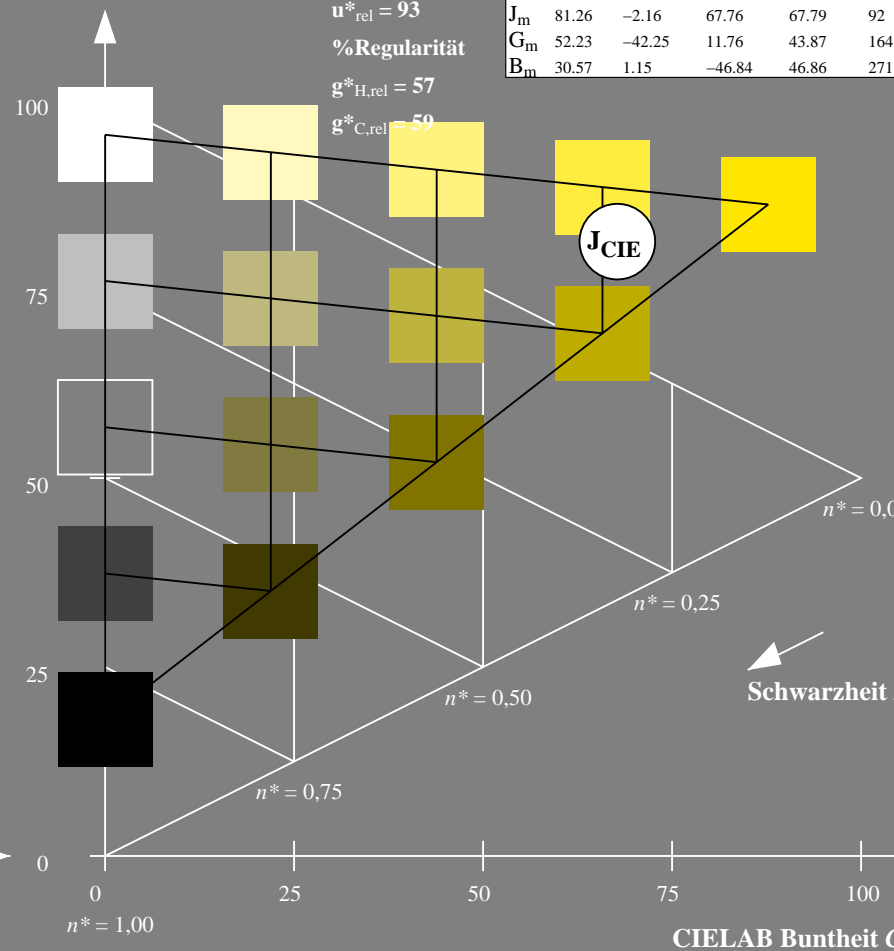


ORS18; adaptierte CIELAB-Daten

	$L^*=L^*_a$	a^*_a	b^*_a	$C^*_{ab,a}$	$h^*_{ab,a}$
O_m	47.94	65.39	50.52	82.63	38
Y_m	90.37	-10.26	91.75	92.32	96
L_m	50.9	-62.83	34.96	71.91	151
C_m	58.62	-30.34	-45.01	54.3	236
V_m	25.72	31.1	-44.4	54.22	305
M_m	48.13	75.28	-8.36	75.74	354
N_m	18.01	0.0	0.0	0.0	0
W_m	95.41	0.0	0.0	0.0	0
R_m	39.92	58.66	26.98	64.57	25
J_m	81.26	-2.16	67.76	67.79	92
G_m	52.23	-42.25	11.76	43.87	164
B_m	30.57	1.15	-46.84	46.86	271

CIELAB-Helligkeit L^*

%Umfang
 $u^*_{rel} = 93$
 %Regularität
 $g^*_{H,rel} = 57$
 $g^*_{C,rel} = 59$



5 stufige Reihen für konstanten CIELAB Buntton 92/360 = 0.255 (rechts)

Eingabe: Farbmétrisches Fernseh-Licht-System TLS18

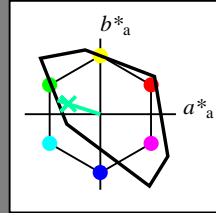
für Buntton $h^* = lab^*h = 162/360 = 0.451$

lab^*tch und lab^*nch

D65: Buntton G

LCH*Ma: 86 60 162

olv*Ma: 0.0 1.0 0.64



TLS18; adaptierte CIELAB-Daten

	$L^*=L^*_a$	a^*_a	b^*_a	$C^*_{ab,a}$	$h^*_{ab,a}$
O_m	52.76	71.63	49.88	87.29	35
Y_m	92.74	-20.02	84.97	87.3	103
L_m	84.0	-78.98	73.94	108.2	137
C_m	87.14	-44.41	-13.11	46.32	196
V_m	35.47	64.92	-95.06	115.12	304
M_m	59.01	89.33	-55.67	105.26	328
N_m	18.01	0.0	0.0	0.0	0
W_m	95.41	0.0	0.0	0.0	0
R_m	39.92	58.74	27.99	65.07	25
J_m	81.26	-2.88	71.56	71.62	92
G_m	52.23	-42.41	13.6	44.55	162
B_m	30.57	1.41	-46.46	46.49	272

Dreiecks-Helligkeit t^*

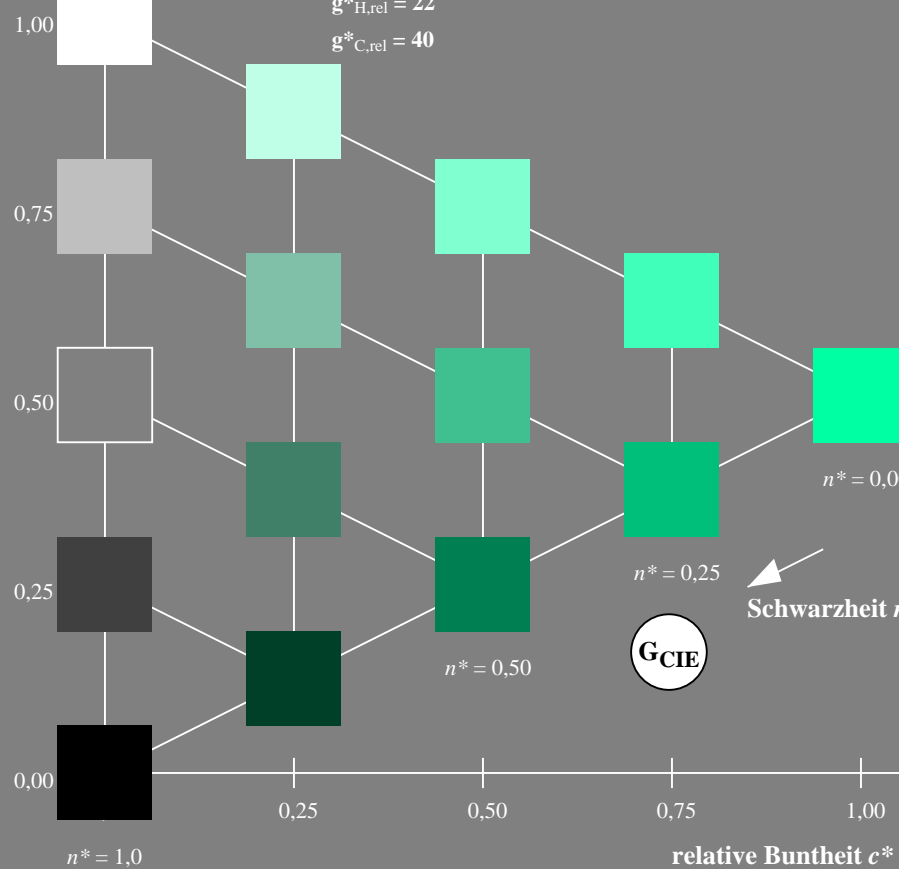
%Umfang

$u^*_{rel} = 118$

%Regularität

$g^*_{H,rel} = 22$

$g^*_{C,rel} = 40$



Ausgabe: Farbmétrisches Offset-Reflektiv-System ORS18

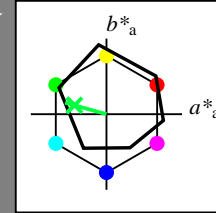
für Buntton $h^* = lab^*h = 164/360 = 0.457$

LAB^*LCH, LAB^*NCH

D65: Buntton G

LCH*Ma: 53 57 164

olv*Ma: 0.0 1.0 0.25



ORS18; adaptierte CIELAB-Daten

	$L^*=L^*_a$	a^*_a	b^*_a	$C^*_{ab,a}$	$h^*_{ab,a}$
O_m	47.94	65.39	50.52	82.63	38
Y_m	90.37	-10.26	91.75	92.32	96
L_m	50.9	-62.83	34.96	71.91	151
C_m	58.62	-30.34	-45.01	54.3	236
V_m	25.72	31.1	-44.4	54.22	305
M_m	48.13	75.28	-8.36	75.74	354
N_m	18.01	0.0	0.0	0.0	0
W_m	95.41	0.0	0.0	0.0	0
R_m	39.92	58.66	26.98	64.57	25
J_m	81.26	-2.16	67.76	67.79	92
G_m	52.23	-42.25	11.76	43.87	164
B_m	30.57	1.15	-46.84	46.86	271

CIELAB-Helligkeit L^*

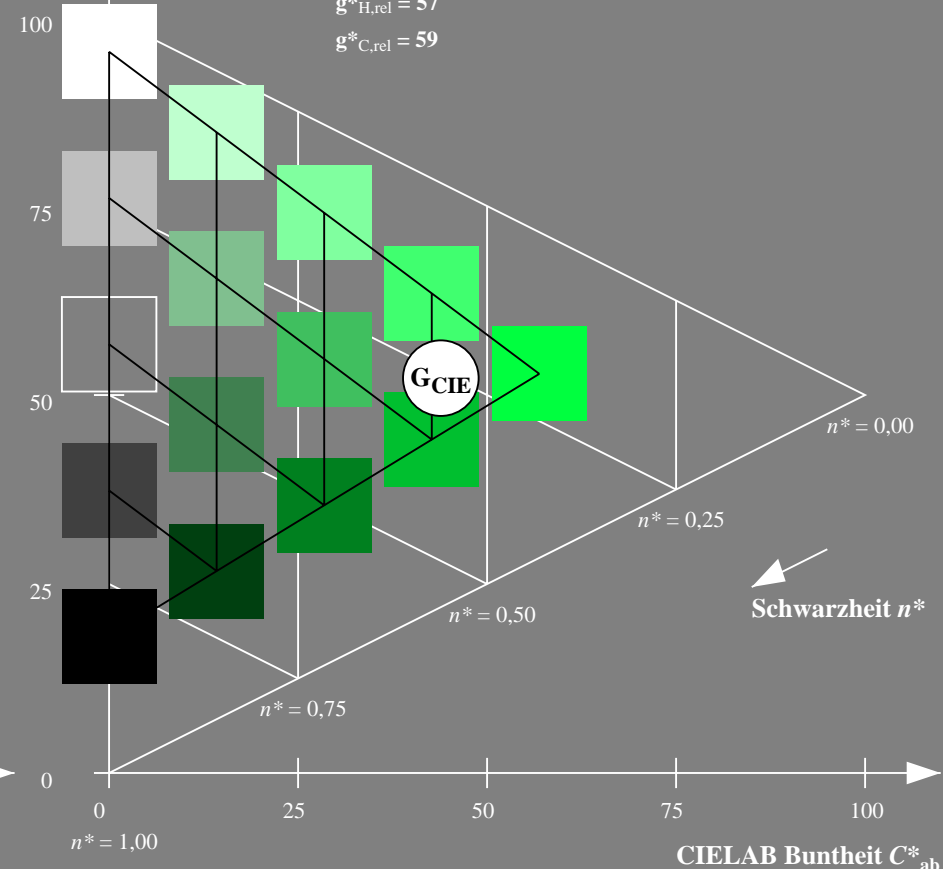
%Umfang

$u^*_{rel} = 93$

%Regularität

$g^*_{H,rel} = 57$

$g^*_{C,rel} = 59$



NG260-7, 5-stufige Reihen für konstanten CIELAB Buntton 162/360 = 0.451 (links)

5-stufige Reihen für konstanten CIELAB Buntton 164/360 = 0.457 (rechts)

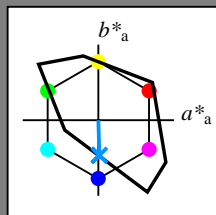
BAM-Prüfvorlage NG26; Farbmétrik-Systeme ORS18 & ORS18input: olv* setrgbcolor

D65: Koordinatensysteme; 5-stufige Farbreihen für 10 Bunttöne output: Startup (S) data dependend

Eingabe: Farbmatisches Fernseh-Licht-System TLS18

für Buntton $h^* = lab^*h = 272/360 = 0.755$
 lab^*tch und lab^*nch

D65: Buntton B
 LCH*Ma: 65 48 272
 olv*Ma: 0.0 0.58 1.0

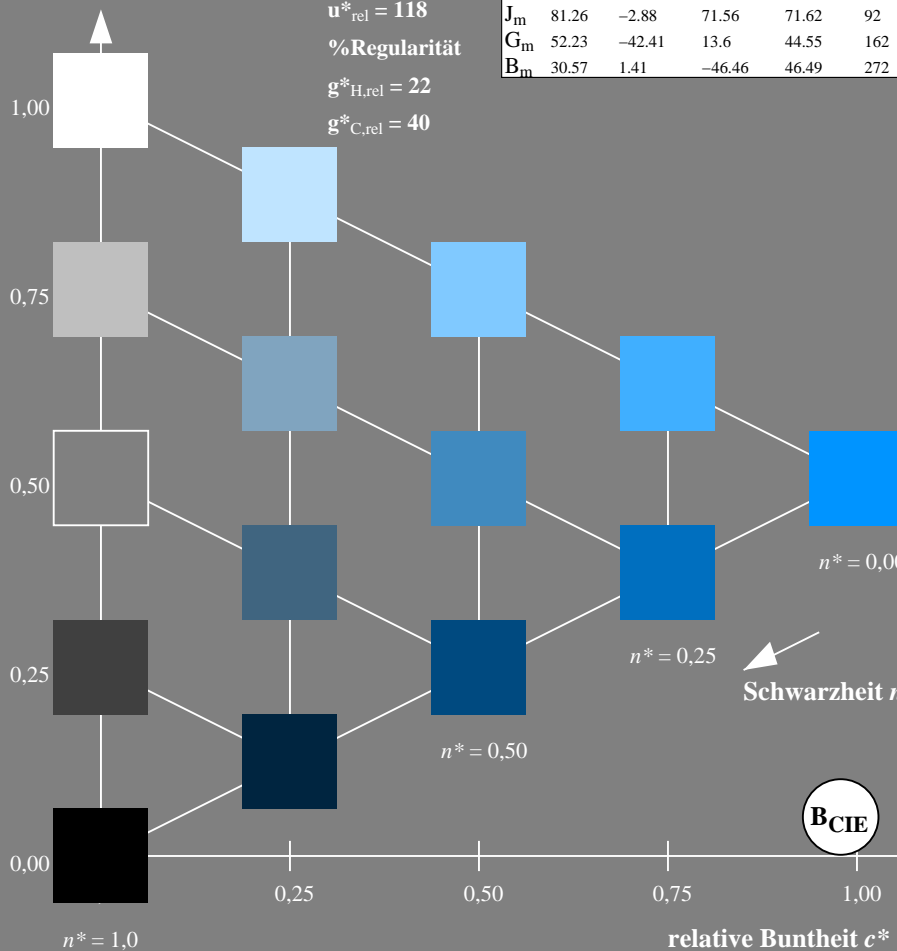


TLS18; adaptierte CIELAB-Daten

	$L^*=L^*_a$	a^*_a	b^*_a	$C^*_{ab,a}$	$h^*_{ab,a}$
O _m	52.76	71.63	49.88	87.29	35
Y _m	92.74	-20.02	84.97	87.3	103
L _m	84.0	-78.98	73.94	108.2	137
C _m	87.14	-44.41	-13.11	46.32	196
V _m	35.47	64.92	-95.06	115.12	304
M _m	59.01	89.33	-55.67	105.26	328
N _m	18.01	0.0	0.0	0.0	0
W _m	95.41	0.0	0.0	0.0	0
R _m	39.92	58.74	27.99	65.07	25
J _m	81.26	-2.88	71.56	71.62	92
G _m	52.23	-42.41	13.6	44.55	162
B _m	30.57	1.41	-46.46	46.49	272

Dreiecks-Helligkeit t^*

%Umfang
 $u^*_{rel} = 118$
 %Regularität
 $g^*_{H,rel} = 22$
 $g^*_{C,rel} = 40$

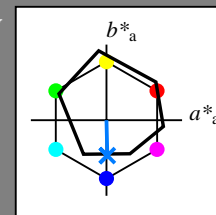


NG260-7, 5 stufige Reihen für konstanten CIELAB Buntton 272/360 = 0.755 (links)

Ausgabe: Farbmatisches Offset-Reflektiv-System ORS18

für Buntton $h^* = lab^*h = 271/360 = 0.754$
 LAB^*LCH, LAB^*NCH

D65: Buntton B
 LCH*Ma: 42 45 271
 olv*Ma: 0.0 0.49 1.0

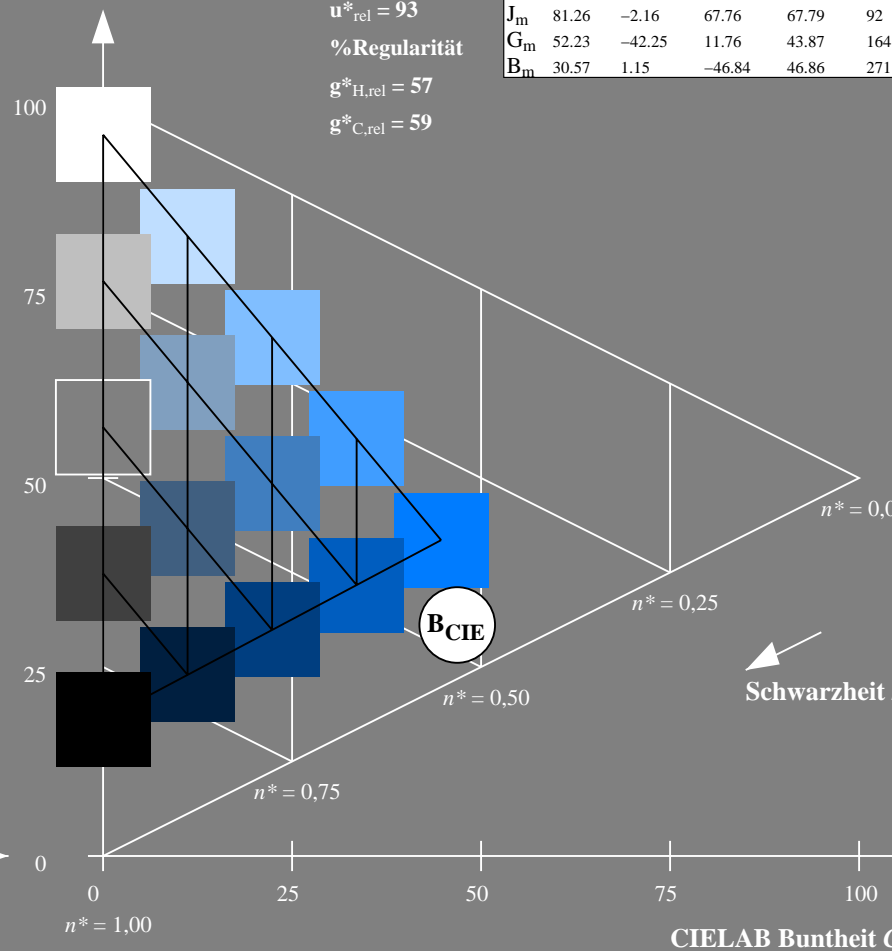


ORS18; adaptierte CIELAB-Daten

	$L^*=L^*_a$	a^*_a	b^*_a	$C^*_{ab,a}$	$h^*_{ab,a}$
O _m	47.94	65.39	50.52	82.63	38
Y _m	90.37	-10.26	91.75	92.32	96
L _m	50.9	-62.83	34.96	71.91	151
C _m	58.62	-30.34	-45.01	54.3	236
V _m	25.72	31.1	-44.4	54.22	305
M _m	48.13	75.28	-8.36	75.74	354
N _m	18.01	0.0	0.0	0.0	0
W _m	95.41	0.0	0.0	0.0	0
R _m	39.92	58.66	26.98	64.57	25
J _m	81.26	-2.16	67.76	67.79	92
G _m	52.23	-42.25	11.76	43.87	164
B _m	30.57	1.15	-46.84	46.86	271

CIELAB-Helligkeit L^*

%Umfang
 $u^*_{rel} = 93$
 %Regularität
 $g^*_{H,rel} = 57$
 $g^*_{C,rel} = 59$



5 stufige Reihen für konstanten CIELAB Buntton 271/360 = 0.754 (rechts)

Siehe ähnliche Dateien: <http://www.ps.bam.de/NG26/>
 Technische Information: <http://www.ps.bam.de/Version 2.1, io=1,1?>

BAM-Registrierung: 20060101-NG26/10Q/Q26G09SP.PS/.PDF BAM-Material: Code=rh4ta
 Anwendung für Beurteilung und Messung von Drucker- oder Monitorssystemen
 /NG26/ Form: 1010Serie: 1/1, Seite: 10
 Scherz hung 10